

دراسة البلاطات الرقيقة تحت تأثير التدفقات الحرارية مع اعتبار عامل التمدد الطولي متغيراً مع درجة الحرارة

الدكتور شاهين غلاييني
قسم الهندسة الإنشائية
كلية الهندسة المدنية - جامعة دمشق

المخلص

يهدف هذا البحث إلى صياغة طريقة تحليلية فعالة لحل البلاطات الرقيقة و المعرضة لتدفقات حرارية على أحد سطوحها بشكل كامل، أما سطحها الآخر فيتعرض لتبادل حراري مع الوسط المحيط. من أجل ذلك تم إيجاد معادلة توزيع درجة الحرارة مع عمق البلاطة و ذلك باستخدام تشكيل لابلاس و ذلك باعتبار شروط التبادل الحراري مع الوسط المحيط، وتبين أنه عندما يصبح التبادل الحراري مساوياً للصفر (معزولة) مع الوسط فإن هذه المعادلة تنطبق مع المعادلة المستخرجة في المراجع المختلفة. بعد ذلك تم اعتبار أن عامل التمدد الطولي لمادة البلاطة α هو تابع لدرجة الحرارة $\alpha(T)$ وعليه تم إيجاد معادلات السهم للبلاطات الدائرية والمستطيلة وذات الاستناد البسيط، والتي بمعرفتها يمكن إيجاد عزوم الانعطاف وقوى القص وعزوم الفتل لهذه البلاطات.

مقدمة:

عند تعرض المنشآت الهندسية لتدفقات حرارية فإن ذلك ينعكس مباشرة على الوضعية الإجهادية والتشوهية لتلك الإنشاءات حيث تحصل زيادة في الانتقالات كما تزداد الإجهادات فيها.

لقد تمت معالجة هذه المشكلة بشكل واسع في أعمال عديدة إلا أنه لم يظهر هناك أي انعكاس لدراسة تأثير عامل التمدد الطولي لمادة البلاطة بصفته متغيراً مع درجة الحرارة، إذ عند تعرض عنصر لتدفق حراري تحصل استطالة في هذا العنصر مادام هذا التدفق الحراري موجوداً، ولكن الملاحظات المنطقية والتجارب /6/ تشير إلى أن تمدد العنصر ينخفض مع ازدياد درجة الحرارة، ومن ثم فإن عامل التمدد الطولي هو تابع لدرجة الحرارة لهذا العنصر.

اعتماداً على هذه الملاحظة فقد تم في هذا البحث صياغة المعادلة التفاضلية للبلاطات الرقيقة وذلك بإدخال عامل التمدد الطولي كتابع لدرجة الحرارة $\alpha(T)$ بدلاً عن اعتباره ثابتاً $\alpha = \text{const}$.

بعد ذلك تم إيجاد معادلة توزع درجة الحرارة $T(z,t)$ في البلاطة حيث تتعرض هذه البلاطة لتدفق حراري منتظم على كامل سطحها ولا يشترط لهذا التدفق أن يكون ثابتاً مع الزمن، أما سطح البلاطة الأخر فيتم فيه تبادل حراري مع الوسط الخارجي، ولما كانت البلاطة رقيقة فإن التبادل الحراري في أطرافها مهمل /2/.

إن معادلة توزع درجة الحرارة المستخرجة بتأثير التدفقات الحرارية هي معادلة عامة يمكن استخدامها في جميع الإنشاءات الهندسية الرقيقة والتي تتبادل مع الوسط المحيط حرارة.

اعتماداً على المعادلة التفاضلية للبلاطات الرقيقة ومعادلة توزع درجة الحرارة تم إيجاد معادلات السهم والعزوم في البلاطات المستطيلة.

إن الهدف الأساسي في هذا البحث هو وضع طريقة تحليلية لدراسة توزع درجة الحرارة في البلاطات الرقيقة والمتجانسة عامة، والتي تتبادل مع الوسط الخارجي حرارة؛ وكذلك انعكاسها على الحالة الإجهادية والتشوهية أخذين بالحسبان تغير عامل التمدد الطولي $\alpha(T)$ مع تغير درجة الحرارة.

1- استخراج المعادلة التفاضلية للبلاطات الرقيقة بتأثير التدفقات الحرارية مع اعتبار عامل التمدد الطولي متغيراً مع درجة الحرارة $\alpha(T)$.

نعتبر في هذه المسألة أن عامل التمدد الطولي متغير مع درجة الحرارة $\alpha(T)$. من قوانين نظرية المرونة وعندما تؤثر قوى في عنصر (إضافة إلى تأثير الحرارة) فإنها في الحالة العامة تسبب إجهادات ناظرية $\sigma_x, \sigma_y, \sigma_z$ وفق المحاور x, y, z . وتكون التشوهات النسبية الطولية وفق تلك المحاور هي /2/:

$$\varepsilon_x = \frac{1}{E}[\sigma_x - \nu(\sigma_y + \sigma_z)] + \alpha.T$$

$$\varepsilon_y = \frac{1}{E}[\sigma_y - \nu(\sigma_x + \sigma_z)] + \alpha.T$$

$$\varepsilon_z = \frac{1}{E}[\sigma_z - \nu(\sigma_x + \sigma_y)] + \alpha.T$$

حيث:

E: عامل مرونة لمادة البلاطة

ν: عامل بواسون وهو ثابت للعناصر المتجانسة

T(x,y,z,t): تابع توزيع درجة الحرارة في العنصر

α: عامل التمدد الطولي لمادة العنصر وهو ثابت

ولكن α في المسألة المدروسة هو تابع لدرجة الحرارة α(T)؛ وهكذا تأخذ المعادلات السابقة الشكل الآتي:

$$\begin{aligned}\varepsilon_x &= \frac{1}{E}[\sigma_x - \nu(\sigma_y + \sigma_z)] + \alpha(T).T \\ \varepsilon_y &= \frac{1}{E}[\sigma_y - \nu(\sigma_x + \sigma_z)] + \alpha(T).T \\ \varepsilon_z &= \frac{1}{E}[\sigma_z - \nu(\sigma_x + \sigma_y)] + \alpha(T).T\end{aligned}\quad (1)$$

واستناداً إلى الفرضيات المعمول بها في دراسة البلاطات الرقيقة / 3 / فإن $\sigma_z = 0$ وعليه فإن حل المعادلات (1) هو:

$$\begin{aligned}\sigma_x &= \frac{E}{1-\nu^2}(\varepsilon_x + \nu\varepsilon_y) - \frac{E}{1-\nu}\alpha(T).T \\ \sigma_y &= \frac{E}{1-\nu^2}(\varepsilon_y + \nu\varepsilon_x) - \frac{E}{1-\nu}\alpha(T).T\end{aligned}\quad (2)$$

وهناك إجهادات مماسية τ_{xy} تعطى بالعلاقة:

$$\tau_{xy} = G.\gamma_{xy}\quad (3)$$

حيث إن:

G: عامل مرونة المادة على القص

 γ_{xy} : التشوه الناتج عن القص في المستوي (x,y)

حيث تم الافتراض أن المستوي (x,y) مار من المستوي المحايد للبلاطة. أما المحور z فهو عمودي على هذا المستوي.

اعتماداً على / 3 / يمكن استخراج المعادلة التفاضلية لبلاطات الرقيقة والمعرضة للحرارة على أحد سطوحها وهي:

$$\frac{\partial^4 W}{\partial x^4} + 2\frac{\partial^4 W}{\partial x^2 \partial y^2} + \frac{\partial^4 W}{\partial y^4} - \frac{1}{D}\left(\frac{\partial^2 \phi}{\partial x^2} + \frac{\partial^2 \phi}{\partial y^2}\right) = \frac{P(x,y)}{D}\quad (4)$$

حيث إن:

$$D = \frac{Eh^3}{12(1-\nu^2)} \quad \text{D: الصلابة الأسطوانية وتعطى بالعلاقة:}$$

$P(x,y)$: شدة الحمولة الموزعة على سطح البلاطة.

h : سماكة البلاطة.

W : الانتقال الشاقولي للبلاطة

تكتب هذه المعادلة بشكل مختصر كما يأتي:

$$\nabla^2 (\nabla^2 W(x, y)) = \frac{1}{D} [\nabla^2 \phi(T) + P(x, y)] \quad (5)$$

حيث إن:

$(-M_T)$ العزم الحراري:

$$\phi = -\frac{M_T}{1-\nu} + \frac{h}{2}$$

$$M_T = \int_{-h/2}^{h/2} E \cdot \alpha(T) \cdot T \cdot z \cdot dz$$

∇^2 : مؤثر لابلاس ويعطى بالعلاقة:

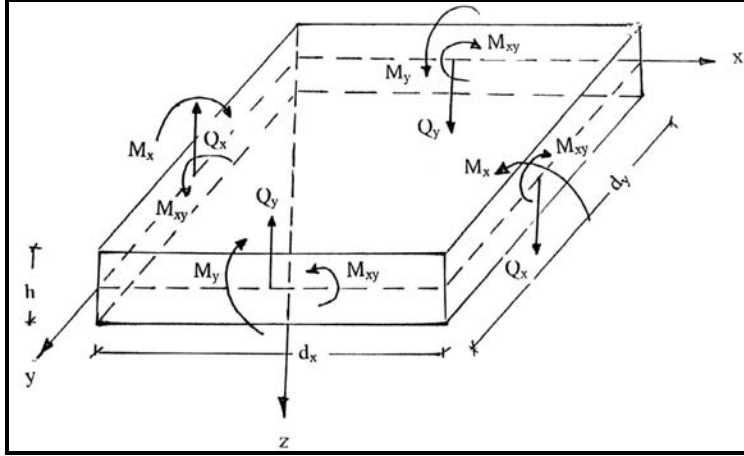
$$\nabla^2 = \frac{\partial^2}{\partial x^2} + \frac{\partial^2}{\partial y^2}$$

المعادلة (5) هي المعادلة التفاضلية نفسها للبلاطات الرقيقة باعتبار $\alpha = \text{const}$ ولكن الاختلاف هو في التابع ϕ الذي يأخذ بالحسبان $\alpha(T)$ ، وعليه يمكن حساب عزوم الانعطاف وقوى القص من العبارات الآتية /2 /

$$\left. \begin{aligned} M_x &= -D \left(\frac{\partial^2 W}{\partial x^2} + \nu \frac{\partial^2 W}{\partial y^2} \right) - \frac{M_T}{(1-\nu)} \\ M_y &= -D \left(\frac{\partial^2 W}{\partial y^2} + \nu \frac{\partial^2 W}{\partial x^2} \right) - \frac{M_T}{(1-\nu)} \\ M_{xy} &= -D(1-\nu) \frac{\partial^2 W}{\partial x \partial y} \end{aligned} \right\} \quad (7)$$

$$\left. \begin{aligned} Q_x &= -\frac{\partial}{\partial x} \left(D \nabla^2 W + \frac{M_T}{1-\nu} \right) \\ Q_y &= -\frac{\partial}{\partial y} \left(D \nabla^2 W + \frac{M_T}{1-\nu} \right) \end{aligned} \right\} \quad (8)$$

يوضح الشكل (5) توضع عزوم الانعطاف والفتل وقوى القوس .



الشكل رقم 5.

2- استخراج معادلة توزيع درجة الحرارة T في البلاطات الرقيقة في حال وجود تبادل حراري بين سطح البلاطة السفلي والوسط المحيط.

- لنكن لدينا البلاطة المبينة في الشكل (1) والتي تتعرض لتدفق حراري على كامل سطحها العلوي شدته $q(t)$ ، عندما $(z=0)$ ويحصل تبادل حراري بين سطحها السفلي والوسط الخارجي عندما $(z=h)$ حيث: h سماكة البلاطة).

أما التبادل الحراري من الأطراف في حالة البلاطات المستطيلة فإنه مهمل إذا كان

$$h < \frac{a}{5}, \quad (a < b)$$

حيث a, b أبعاد البلاطة.

وهكذا فإن معادلة الناقلية الحرارية (معادلة فورييه) هي تابع فقط للزمن t ولـ z أي $T(z, t) / 2$ وتأخذ الشكل الآتي:

$$\frac{\partial^2 T}{\partial z^2} - \frac{1}{\chi} \frac{\partial T}{\partial t} = 0 \quad (9)$$

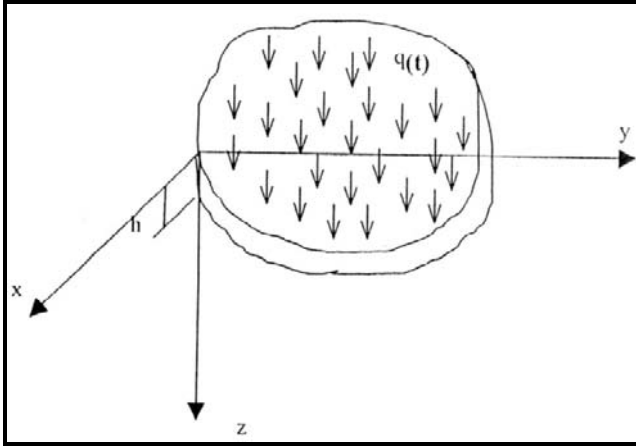
حيث: $\chi = \frac{\lambda}{\rho \cdot c}$ ووحدته $\left[\frac{m^2}{sec} \right]$

λ : عامل الناقلية الحرارية $[Kal/m \cdot sec \cdot c^\circ]$

ρ : كثافة مادة البلاطة $[Kg/m^3]$

c : السعة النوعية الحرارية لمادة البلاطة $[Kal/Kg \cdot c^\circ]$

$q(t)$: التدفق الحراري على سطح البلاطة $[Kal/m^2 \cdot sec]$



الشكل رقم 1.

اعتماداً على ما سبق يمكن صياغة الشروط الحدية الحرارية الابتدائية الآتية:

$$\left. \begin{aligned} z = 0 &\Rightarrow \lambda \frac{\partial T}{\partial z} = -q(t) \\ z = h &\Rightarrow \lambda \frac{\partial T}{\partial z} = H(T_0 - T) \end{aligned} \right\} \quad (10)$$

$$t = 0 \Rightarrow T(z, t) = T_0 \quad (11)$$

حيث H : عامل التبديل الحراري مع الوسط المحيط $[Kal/m^2 \cdot sec \cdot c^\circ]$

T_0 : درجة حرارة البلاطة الابتدائية والتي هي مساوية لدرجة حرارة الوسط المحيط.
من الملاحظ أنه في المعادلة التفاضلية (9) هناك مشتقات مستقلة بالنسبة للزمن t وبالنسبة لـ z ولذلك سنستخدم تحويل لابلاس / 2، 1 / حيث نضرب المعادلة (9) بـ: $\int_0^{\infty} e^{-Pt} dt$ وتأخذ المعادلة الشكل الآتي:

$$\int_0^{\infty} T'' e^{-Pt} dt - \frac{1}{\chi} \int_0^{\infty} \dot{T} e^{-Pt} dt = 0 \quad (12)$$

فحسب لابلاس نجد أن:

$$\bar{T} = \int_0^{\infty} T e^{-Pt} dt, \quad \bar{T}' = \int_0^{\infty} \dot{T} e^{-Pt} dt$$

أما الحد الثاني في المعادلة (12) فهو:

$$L\left\{\dot{T}\right\} = \int_0^{\infty} \dot{T} e^{-Pt} dt = -T_0 + P\bar{T}$$

كما أن:

$$\bar{q} = \int_0^{\infty} q(t) \cdot e^{-Pt} dt$$

$$\bar{T}_O = \int_0^{\infty} T_O e^{-Pt} dt = \frac{T_O}{P}$$

نعوض في (12) ونطبق أيضاً تحويل لابلاس على الشروط الحدية الحرارية (10) فنحصل على:

$$\bar{T}'' - k^2 \bar{T} = -\frac{T_O}{\chi} \quad : k^2 = \frac{P}{\chi} \quad (13)$$

$$\left. \begin{aligned} z=0 &\Rightarrow \lambda \bar{T}' = -\bar{q} \\ z=h &\Rightarrow \lambda \bar{T}' = H \frac{T_O}{P} - H \bar{T} \end{aligned} \right\} \quad (14)$$

إن حل المعادلة التفاضلية (13) يتكون من حلين عام وخاص.

الحل العام دون طرف ثان وهو:

$$\lambda^2 - k^2 = 0 \Rightarrow \lambda = \pm k \Rightarrow \lambda_1 = +k; \lambda_2 = -k$$

ومن ثمَّ فإن الحل العام دون طرف ثان هو \bar{T}_1

$$\bar{T}_1(z) = c_1 e^{kz} + c_2 e^{-kz} = c_1 e^u + c_2 e^{-u}$$

حيث $u=k.z$

وكما نعلم فإنه:

$$\text{chu} + \text{shu} = e^u, \quad \text{chu} - \text{shu} = e^{-u}$$

تأخذ المعادلة السابقة الشكل الآتي:

$$\bar{T}_1(z) = \text{Ach}(k.z) + \text{Bsh}(k.z)$$

أما الحل الخاص فيمكن إيجاده مباشرة وهو \bar{T}_2

$$\bar{T}_2 = \frac{T_0}{k^2 \chi}$$

والحل العام هو:

$$\bar{T} = \bar{T}_1 + \bar{T}_2$$

$$\bar{T}(z) = \text{Ach}(k.z) + \text{Bsh}(k.z) + \frac{T_0}{k^2 \chi} \quad (15)$$

يمكن تعيين الثابتين B, A بأن نعوض (15) في الشروط الحدية (14) فنجد أن:

$$A = \frac{\bar{q}}{\lambda.k} \frac{\text{ch}(kh) + \frac{H}{\lambda k} \text{sh}(kh)}{\text{sh}(kh) + \frac{H}{\lambda k} \text{ch}(kh)}; \quad B = -\frac{\bar{q}}{\lambda k}$$

وتأخذ المعادلة (15) الشكل الآتي:

$$(16) \bar{T} = \frac{\bar{q}}{\lambda k} \left[\frac{\text{ch}(kh) + \frac{H}{\lambda k} \text{sh}(kh)}{\text{sh}(kh) + \frac{H}{\lambda k} \text{ch}(kh)} \cdot \text{ch}(kz) - \text{sh}(kz) \right] + \frac{T_0}{k^2 \cdot \chi}$$

$$n = kh, \quad \frac{H.h}{\lambda} = m \quad \text{بفرض أن:}$$

$$\left(\frac{H}{\lambda k}\right) = \frac{H.h}{\lambda} \frac{1}{k.h} = \frac{m}{n} \quad \text{فان:}$$

وعليه تأخذ المعادلة (16) الشكل الآتي:

$$\bar{T} = \frac{\bar{q}}{\lambda k} \left[\frac{\text{chn} + \frac{m}{n} \text{shn}}{\text{shn} + \frac{m}{n} \text{chn}} \text{ch}(k.z) - \text{sh}(k.z) \right] + \frac{T_0}{k^2 \chi}$$

$$kz = k.h \cdot \frac{z}{h} = n\zeta \quad \text{فان} \quad \zeta = \frac{z}{h}$$

وهكذا تأخذ المعادلة السابقة الشكل الآتي:

$$\bar{T} = \frac{\bar{q}h}{\lambda n} \left[\frac{\text{chn} + \frac{m}{n} \text{shn}}{\text{shn} + \frac{m}{n} \text{chn}} \text{ch}(n\zeta) - \text{sh}(n\zeta) \right] + \frac{T_0}{k^2 \chi}$$

أو:

$$\bar{T} = \frac{\bar{q}h}{\lambda} \left[\frac{\frac{m}{n} \text{sh}[n(1-\zeta)] + \text{ch}[n(1-\zeta)]}{n \text{shn} + m \text{chn}} \right] + \frac{T_0}{k^2 \chi} \quad (18)$$

من أجل إرجاع المعادلة (18) إلى شكلها الأصلي نتبع ما يلي:

نستخدم صيغة التحويل هيفي سايد (Heaviside Expansion Formula) $1/(s-m)$ للمضروب الثاني من الحد الأول في (18):

$$\bar{F} = \frac{G(P)}{H(P)}; \quad L^{-1} \left[\frac{G(P)}{H(P)} \right] = F = \sum_{K=1}^{\infty} \frac{G(P_K)}{B'(P_K)} e^{P_K \cdot t}$$

$$(19) H(P) = 0 \rightarrow P_1, P_2, P_3, \dots, P_K$$

$$H(P) = n \text{shn} + m \text{chn} = 0 \Rightarrow \text{thn} = -\frac{m}{n}$$

بفرض $n = i\beta$ فان:

$$\text{thi}\beta = -\frac{m}{i\beta} \Rightarrow \text{tg}\beta = \frac{m}{\beta} \quad (20)$$

نحل المعادلة (20) بيانياً بفرض:

$$\left. \begin{aligned} y_1 &= \operatorname{tg} \beta \\ y_2 &= \frac{m}{\beta} \end{aligned} \right\} \quad (21)$$

من تقاطع التابعين y_2, y_1 يمكن إيجاد الجذور β_k

حيث: $(k = 1, 2, 3, \dots, \infty)$ شكل (2)

كما قد بينا أن:

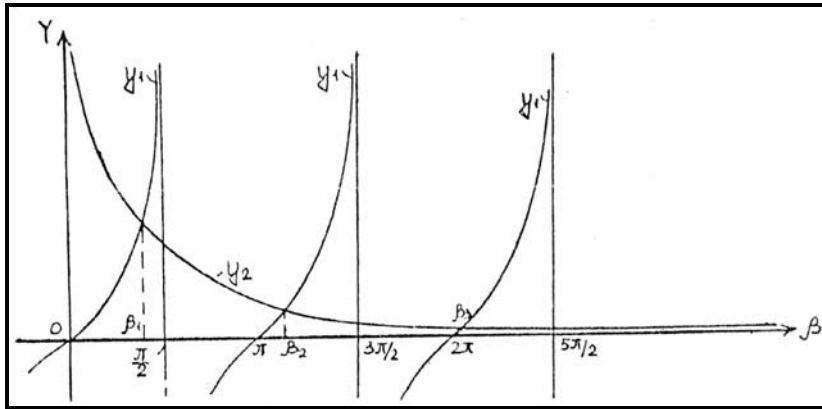
$$k^2 = \frac{P_k}{\chi}, \quad n = kh; \quad n = i\beta$$

وعليه فإنه:

$$i\beta_k = k.h \Rightarrow -\beta_k^2 = k^2.h^2 \Rightarrow -\beta_k^2 = \frac{P_k}{\chi} h^2$$

$$P_k = -\frac{\beta_k^2}{h^2} \cdot \chi$$

ومن ثم يكون:



الشكل رقم 2.

ولدينا:

$$H(P) = nshn + mchn \Rightarrow \frac{dH(P)}{dP} = \frac{dH(P)}{dn} \cdot \frac{dn}{dP} \Rightarrow \frac{dH(P)}{dn}$$

$$= n.chn + (1+m)chn$$

يمكن إيجاد $\frac{dn}{dP}$ كما يأتي:

$$n = kh = \sqrt{\frac{P_k}{\chi}} \cdot h \Rightarrow \frac{dn}{dP_k} = \frac{1}{2} \frac{h}{\sqrt{P_k \chi}} \Rightarrow P_k = -\frac{\beta_k^2}{h^2} \cdot \chi$$

$$\Rightarrow \frac{dn}{dP} = \frac{1}{2} \cdot \frac{h^2}{\chi \cdot \beta_k \cdot i}$$

$$\frac{dH(P)}{dP} = [nchn + (1+m)shn] \frac{1}{2} \frac{h^2}{\chi \cdot \beta_k \cdot i}$$

وعليه فإن: نعوض في صيغة الإرجاع (19) فنجد أن:

$$F = \sum_{K=1}^{\infty} \frac{\frac{m}{i\beta_k} \cdot \text{sh}[i\beta_k(1-\zeta)] + \text{ch}[i\beta_k(1-\zeta)]}{i\beta_k \cdot \text{chi}\beta_k + (1+m) \text{shi}\beta_k} \cdot \frac{2 \cdot \chi \cdot \beta_k \cdot i}{h^2} \cdot e^{-\frac{\beta_k^2}{h^2} \cdot \chi \cdot t}$$

أو كما هو معلوم من الرياضيات / 1 /

$$F = \sum_{K=1}^{\infty} \frac{\frac{m}{\beta_k} \sin[\beta_k(1-\zeta)] + \cos[\beta_k(1-\zeta)]}{\beta_k \text{chi}\beta_k + (1+m) \sin\beta_k} \cdot \frac{2 \cdot \chi \cdot \beta_k \cdot i}{h^2} \cdot e^{-\frac{\beta_k^2}{h^2} \cdot \chi \cdot t} \quad (22)$$

لو عدنا إلى المعادلة (18) فإن لها الشكل الآتي:

$$\bar{T} = \frac{h}{\lambda} \cdot \bar{q} \cdot \bar{F} + \frac{T_0}{P} \quad P = k^2 \cdot \chi$$

فحسب نظرية الطي (convolution Theorem) / 1 / نجد أن:

$$T = L^{-1}[T] = \frac{h}{\lambda} \int_0^t q(\tau) \cdot F(t-\tau) \cdot d\tau + T_0$$

وهكذا تصبح المعادلة العامة للانتقال الحراري هي:

$$T = T_0 + \frac{2\chi}{h\lambda} \left\{ \sum_{K=1}^{\infty} \frac{\beta_K \cos[\beta_K (1-\zeta)] + m \sin[\beta_K (1-\zeta)]}{\beta_K \cos \beta_K + (1+m) \sin \beta_K} \int_0^t q(\tau) e^{-\frac{\beta_K^2}{h^2} \chi (t-\tau)} d\tau \right\}$$

$$0 \leq \zeta \leq 1$$

إذا نقلنا مبدأ الإحداثيات إلى المستوى المحايد للبلاطة فإن المعادلة السابقة تأخذ الشكل الآتي:

$$T = T_0 + \frac{2\chi}{h\lambda} \left\{ \sum_{K=1}^{\infty} \frac{\beta_K \cos[\beta_K (0.5 - \eta)] + m \sin[\beta_K (0.5 - \eta)]}{\beta_K \cos \beta_K + (1+m) \sin \beta_K} \int_0^t q(\tau) e^{-\frac{\beta_K^2}{h^2} \chi (t-\tau)} d\tau \right\} \quad (23)$$

$$-\frac{1}{2} \leq \eta \leq \frac{1}{2} \quad m > 0$$

المعادلة (23) تمثل معادلة توزيع درجة الحرارة مع عمق البلاطة عندما تتعرض لتدفق حراري شدته $q(t)$ على أحد سطوحها، وعندما يكون هناك تبادل حراري بين سطح البلاطة الآخر والوسط المحيط. ولهذا الحل معنى فقط عندما $m > 0$ ومن أجل اختبار صحة العلاقة (23) نفرض أن $H=0 \Rightarrow m=0$ (حالة البلاطة معزولة ولا يحصل تبادل حراري مع الوسط المحيط وتأخذ المعادلة (23) الشكل الآتي:

$$T = T_0 + \frac{2\chi}{h\lambda} \left\{ \sum_{K=1}^{\infty} \frac{\beta_K \cos[\beta_K (0.5 - P)]}{\beta_K \cos \beta_K + \sin \beta_K} \int_0^1 q(\tau) e^{-\frac{\beta_K^2}{h^2} \chi (t-\tau)} d\tau \right\} \quad (24)$$

أما جذور هذه المعادلة فتتحدد من (20):

$$m = 0 \Rightarrow t q \beta = 0 \Rightarrow \beta_1 = 0, \quad \beta_2 = \pi, \dots, \beta_{K+1} = k\pi$$

إن الجذر الأول $\beta_1 = 0$ سوف يؤدي إلى عدم تعيين يمكن إزالته في (12.2) بتطبيق أوبينال فنجد أن المعادلة (24) تأخذ الشكل الآتي:

$$T(\eta, t) = T_0 + \frac{h}{\lambda} \left[\frac{\chi}{h^2} \int_0^t q(\tau) d\tau + \frac{2\chi}{h^2} \sum_{K=1}^{\infty} (-1)^K \cos[\pi k (0.5 - \eta)] \int_0^t q(\tau) e^{-K^2 \pi^2 \frac{\chi}{h^2} (t-\tau)} d\tau \right]$$

بفرض أن التدفق الحراري على سطح البلاطة ثابت مع الزمن فإن:

$$q(t) = q_0 = \text{const}$$

تأخذ المعادلة السابقة الشكل الآتي:

$$T_{(\eta,t)} = T_0 + \frac{hq_0}{\lambda} \left[\frac{\chi \cdot t}{h^2} + \frac{2}{\pi^2} \sum_{K=1}^{\infty} \frac{(-1)^K}{k^2} \cos[\pi k(0.5 - \eta)] \cdot \left(1 - e^{-\frac{K^2 \pi^2}{h^2} \cdot \chi \cdot t}\right) \right] \quad (25)$$

عندما $m = 0$

إن هذه العلاقة يجب أن تنطبق مع العلاقة الواردة في المراجع / 2 لحالة البلاطة المعزولة من سطحها الذي لا يتبادل حرارة مع الوسط المحيط والتي تأخذ الشكل الآتي:

$$T_{(\eta,t)} = T_0 + \frac{q_0 \cdot h}{\lambda} \left[\frac{\chi \cdot t}{h^2} + \frac{3(0.5 + \eta)^2 - 6(0.5 + \eta) + 2}{6} - \frac{2}{\pi^2} \sum_{K=1}^{\infty} \frac{(-1)^K}{k^2} \cos[k\pi(0.5 - \eta)] e^{-\frac{K^2 \pi^2}{h^2} \cdot \chi \cdot t} \right] \quad (26)$$

بمقارنة (25) و (26) يجب أن يكون:

$$\frac{2}{\pi^2} \sum_{K=1}^{\infty} \frac{(-1)^K}{k^2} \cos[\pi k(0.5 - \eta)] = \frac{3(0.5 + \eta)^2 - 6(0.5 + \eta) + 2}{6}$$

من أجل التحقق من صحة هذه المساواة نرسم المنحني البياني للطرف الأول من أجل عدد حدود كافي لـ k ونرسم المنحني البياني للطرف الثاني فنجد أن هذين المنحنيين منطبقان.

3 - دراسة الوضعية الإجهادية والتشوهية للبلاطات المستطيلة ذات استناد بسيط على كامل محيطها معرضة لتدفق حراري شدته $q(t)$ حيث $\alpha(T)$ هي لمادة البلاطة.

لإظهار تأثير الحرارة في البلاطة نفترض أن الحمولة الخارجية معدومة $P(x, y) = 0$

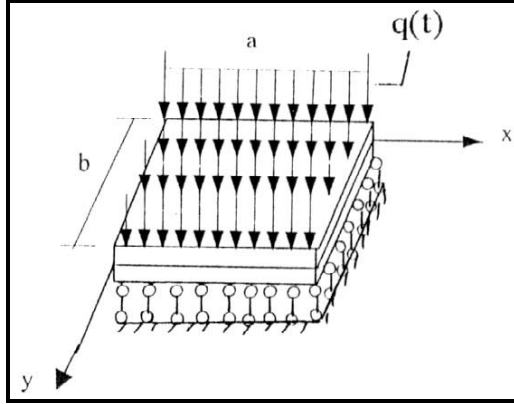
وعليه فإن المعادلة التفاضلية (5) تأخذ الشكل الآتي:

$$\nabla^2(\nabla^2 W) = \frac{\nabla^2 \phi}{D}$$

أو:

$$\nabla^2(\nabla^2 W) = -\frac{\nabla^2 M_T}{D(1-\nu)} \quad (27)$$

فمن أجل البلاطة المبنية في الشكل (3)



الشكل رقم 3.

فإن الشروط الحدية اعتماداً على (7) هي :

$$\left. \begin{aligned} x=0; a \Rightarrow W=0, \quad M_X=0 \Rightarrow \frac{\partial^2 W}{\partial x^2} = -\frac{M_T}{D(1-\nu)}; \quad \frac{\partial^2 W}{\partial y^2} = 0 \\ y=0; b \Rightarrow W=0, \quad M_Y=0 \Rightarrow \frac{\partial^2 W}{\partial y^2} = -\frac{M_T}{D(1-\nu)}; \quad \frac{\partial^2 W}{\partial x^2} = 0 \end{aligned} \right\} \quad (28)$$

يمكن أن تبسط المعادلة (27) فيما إذا عدنا إلى $x/2$ وأدخلنا التابع $\varphi(x,y)$:

$$\varphi = \nabla^2 W + \frac{M_T}{D(1-\nu)} \quad (29)$$

فمن الشروط (28) نجد بعد التعويض في φ أنه:

$$x=0; a \Rightarrow \varphi = 0$$

$$y=0; b \Rightarrow \varphi = 0$$

$$\nabla^2 \varphi = 0 \quad \text{ومن ثمَّ فإن:}$$

وهكذا ننتقل لحل مسألة أكثر سهولة وهي:

$$\nabla^2 W = \frac{-M_T}{D(1-\nu)} \quad (30)$$

بالشروط الحدية الآتية:

$$\left. \begin{array}{l} x = 0; a \Rightarrow W = 0 \\ y = 0; b \Rightarrow W = 0 \end{array} \right\} \quad (31)$$

نختار التابع $W(x,y)$ الذي يحقق الشروط الحدية السابقة وهذا التابع هو:

$$W = \sum_{m=1}^{\infty} \sum_{n=1}^{\infty} B_{nm} \sin \frac{n\pi x}{a} \cdot \sin \frac{m\pi y}{b} \quad (32)$$

نحلل M_T في سلسلة مثلثية ثنائية فنجد أن: /4.3/

$$M_T = \sum_{m=1}^{\infty} \sum_{n=1}^{\infty} B_{nm} \sin \frac{n\pi x}{a} \cdot \sin \frac{m\pi y}{b} \quad (33)$$

والتي عندها تكون M_T متعلقة فقط بالزمن وعامل التحليل هو:

$$A_{nm} = \frac{16}{\pi^2 n.m} M_T$$

نعوض الآن (32) و (33) و (30) فنجد أن:

$$B_{nm} = \frac{16}{\pi^2 n.m} \frac{M_T}{D(1-\nu)} \frac{1}{\frac{m^2 \pi^2}{a^2} + \frac{n^2 \pi^2}{b^2}}$$

وتأخذ معادلة السهم (32) شكلها النهائي الآتي:

$$W(x,y,t) = \frac{16.M_T}{\pi^4 .D(1-\nu)} \sum_{n=1}^{\infty} \sum_{m=1}^{\infty} \frac{\sin \frac{n\pi x}{a} \cdot \sin \frac{m\pi y}{b}}{n.m \left(\frac{m^2}{a^2} + \frac{n^2}{b^2} \right)} \quad (34)$$

إن هذه العلاقة منسجمة تماماً مع العلاقة الواردة في / 2 / إلا أن M_T هنا تأخذ $\alpha(T)$ بالحسبان.

بحساب السهم من (34) يمكن حساب العزوم وقوى القص من المعادلات (7)، (8).

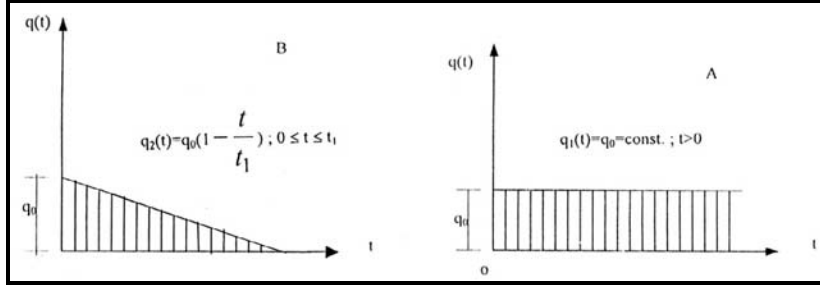
▪ تعيين $M_T(t)$

نفرض أن عامل التمدد الطولي $\alpha(T)$ متغير بشكل خطي مع الزمن/5 كما في الشكل (4) وعليه فإن:

$$\alpha(T) = \left(\frac{\alpha_1 - \alpha_0}{T_1} \right) \cdot T + \alpha_0$$

حيث α_0 عامل التمدد الطولي الموافق لدرجة الحرارة T_0

α_1 عامل التمدد الطولي الموافق لدرجة الحرارة $(T_1 + T_0)$



الشكل رقم 4.

وعليه فإنه من (6) نجد:

$$M_T = h^2 E \int_{-1/2}^{+1/2} \alpha(T) T(\eta, t) \cdot \eta \cdot d\eta$$

$$M_T = h^2 E \int_{-1/2}^{+1/2} \left[\left(\frac{\alpha_1 - \alpha_0}{T_1} \right) \cdot T(\eta, t) + \alpha_0 \right] \cdot T(\eta, t) \cdot \eta \cdot d\eta$$

بجعل:

$$M_{T_1} = \alpha_0 E h^2 \int_{-1/2}^{+1/2} T(\eta, t) \cdot \eta \cdot d\eta$$

$$M_{T_2} = \left(\frac{\alpha_1 - \alpha_0}{T_1} \right) \cdot E h^2 \int_{-1/2}^{+1/2} T(\eta, t) \cdot T(\eta, t) \cdot \eta \cdot d\eta$$

فإن:

$$M_T = M_{T_1} + M_{T_2}$$

ومن المعادلة (23) ويفرض أن:

$$L_K(\eta) = \beta_K \cos[\beta_K(0.5 - \eta)] + m \sin[\beta_K(0.5 - \eta)]$$

$$R_K = \beta_K \cos \beta_K + (1 + m) \sin \beta_K$$

$$\varphi_K(t) = \int_0^t q(\tau) e^{-\frac{\beta_K^2}{h^2} \cdot \chi(t-\tau)} \cdot d\tau$$

فإن المعادلة (23) تأخذ الشكل الآتي:

$$T(\eta, t) = T_0 + \frac{2\chi}{h\lambda} \left\{ \sum_{K=1}^{\infty} \frac{L_K(\eta)}{R_K} \varphi_K(t) \right\}$$

وعليه فإن:

$$M_{T1} = \alpha_0 \cdot E \cdot h^2 \left\{ \frac{2\chi}{h\lambda} \sum_{K=1}^{\infty} \frac{\beta_K(2+m) + \beta_K(m-2) \cos \beta_K - (2m - \beta_K^2) \sin \beta_K}{2\beta_K^2 \cdot R_K} \cdot \varphi_K(t) \right\}$$

لحساب التكامل M_{T_2} نكتبه بالشكل الآتي:

$$M_{T2} = \left(\frac{\alpha_1 - \alpha_0}{T_1} \right) \cdot E h^2 \int_{-1/2}^{+1/2} T_e(\eta, t) \cdot T_k(\eta, t) \cdot \eta \cdot d\eta$$

حيث:

$$\beta_1 = \beta_1, \beta_2 = \beta_2, \dots, \beta_k = \beta_e$$

$$L_k(\eta) = L_e(\eta); R_k = R_e; \varphi_k(t) = \varphi_e(t)$$

وعليه فإن:

$$M_{T2} = \left(\frac{\alpha_1 - \alpha_0}{T_1}\right). E h^2.$$

$$+ \frac{1}{2} \int_{-1/2}^{+1/2} T_0^2 + \frac{4\chi^2}{h^2\lambda^2} \sum_{k=1}^{\infty} \sum_{e=1}^{\infty} \left(\frac{\varphi_k(t) \cdot \varphi_e(t)}{R_k \cdot R_e} \cdot L_k(\eta) \cdot L_e(\eta) + \frac{4\chi}{h\lambda} T_0 \left\{ \sum_{k=1}^{\infty} \frac{L_k(\eta) \varphi_k(t)}{R_k} \right\} \right) \cdot \eta \cdot d\eta$$

$$+ \frac{1}{2} \int_{-1/2}^{+1/2} T_0^2 \eta \cdot d\eta = 0 \quad \text{حساب هذه التكاملات:}$$

$$I_{ke} = \int_{-1/2}^{+1/2} L_k(\eta) \cdot L_e(\eta) \cdot \eta \cdot d\eta$$

$$I_{ke} = \int_{-1/2}^{+1/2} (m \cdot \sin[\beta_k(0.5 - \eta)] + \beta_k \cos[\beta_k(0.5 - \eta)]) (m \cdot \sin[\beta_e(0.5 - \eta)] + \beta_e \cos[\beta_e(0.5 - \eta)]) \cdot \eta \cdot d\eta$$

$$I_{ke} = \int_{-1/2}^{+1/2} [m^2 \sin[\beta_k(0.5 - \eta)] \sin[\beta_e(0.5 - \eta)] + \beta_k \beta_e \cdot \cos[\beta_k(0.5 - \eta)] \cos[\beta_e(0.5 - \eta)] + m \beta_e \cdot \sin[\beta_k(0.5 - \eta)] \cos[\beta_e(0.5 - \eta)] + m \beta_k \cos[\beta_k(0.5 - \eta)] \cdot \sin[\beta_e(0.5 - \eta)]] \cdot \eta \cdot d\eta$$

وعليه فإن:

$$I_{ke} = I_1 + I_2 + I_3 + I_4$$

حيث:

$$I_1 = m^2 \left[-\frac{\sin(\beta_k - \beta_e)}{4(\beta_k - \beta_e)} - \frac{\sin(\beta_k + \beta_e)}{4(\beta_k + \beta_e)} + \frac{2\beta_k \beta_e}{(\beta_k - \beta_e)^2 (\beta_k + \beta_e)^2} \right. \\ \left. + \left(\frac{-\cos(\beta_k - \beta_e)}{2(\beta_k - \beta_e)^2} + \frac{\cos(\beta_k + \beta_e)}{2(\beta_k + \beta_e)^2} \right) \right]$$

$$I_2 = \beta_k \cdot \beta_e \left[-\frac{\sin(\beta_k - \beta_e)}{4(\beta_k - \beta_e)} + \frac{\sin(\beta_k + \beta_e)}{4(\beta_k + \beta_e)} + \frac{\beta_k^2 + \beta_e^2}{(\beta_k - \beta_e)^2 (\beta_k + \beta_e)^2} \right. \\ \left. - \left(\frac{\cos(\beta_k - \beta_e)}{2(\beta_k - \beta_e)^2} + \frac{\cos(\beta_k + \beta_e)}{2(\beta_k + \beta_e)^2} \right) \right]$$

$$I_3 = m \beta_e \left[\left(\frac{\cos(\beta_k - \beta_e)}{2(\beta_k - \beta_e)} + \frac{\cos(\beta_k + \beta_e)}{2(\beta_k + \beta_e)} \right) - \left(\frac{\sin(\beta_k - \beta_e)}{2(\beta_k - \beta_e)^2} + \frac{\sin(\beta_k + \beta_e)}{2(\beta_k + \beta_e)^2} \right) \right. \\ \left. + \frac{\beta_k}{2(\beta_k - \beta_e)(\beta_k + \beta_e)} - \left(\frac{\cos(\beta_k - \beta_e)}{4(\beta_k - \beta_e)} + \frac{\cos(\beta_k + \beta_e)}{4(\beta_k + \beta_e)} \right) \right]$$

$$I_4 = m \beta_k \left[\left(\frac{\cos(\beta_e - \beta_k)}{2(\beta_e - \beta_k)} + \frac{\cos(\beta_e + \beta_k)}{2(\beta_e + \beta_k)} \right) - \left(\frac{\sin(\beta_e - \beta_k)}{2(\beta_e - \beta_k)^2} + \frac{\sin(\beta_e + \beta_k)}{2(\beta_e + \beta_k)^2} \right) \right. \\ \left. + \frac{\beta_e}{2(\beta_e - \beta_k)(\beta_e + \beta_k)} - \left(\frac{\cos(\beta_e - \beta_k)}{4(\beta_e - \beta_k)} + \frac{\cos(\beta_e + \beta_k)}{4(\beta_e + \beta_k)} \right) \right]$$

مع ملاحظة أن هذه التكاملات لها معنى فقط عندما $k \neq e$
 أما عندما $K=e$ فإن المقادير $(\beta_k = \beta_e)$; $\beta_k - \beta_e = 0$; تسبب حالات عدم تعيين يجب إزالتها:
 1- من المعلوم أنه:

$$\lim_{\beta_k \rightarrow \beta_e} \left(\frac{\sin(\beta_k - \beta_e)}{\beta_k - \beta_e} \right) = 1$$

$$(\beta_k - \beta_e) \rightarrow 0$$

2- نعالج الحدين (3) و (4) في I_1 ولنحسب النسبة بينهما

$$\lim_{(\beta_k - \beta_e) \rightarrow 0} \left(\frac{\cos(\beta_k - \beta_e)}{2(\beta_k - \beta_e)^2} \right) = \frac{2\beta_k \beta_e}{(\beta_k - \beta_e)^2 (\beta_k + \beta_e)^2} = 1$$

$$= \lim_{\substack{\beta_k - \beta_e \rightarrow 0 \\ (\beta_k \rightarrow \beta_e)}} \left(\frac{(\beta_k + \beta_e)^2 \cos(\beta_k - \beta_e)}{4\beta_k \beta_e} \right) = 1$$

هذا يعني أن الحدين (3) و (4) متساويان عندما $\beta_k - \beta_e \rightarrow 0$ ، ولكن الحد الرابع ذو إشارة سالبة، ومن ثمَّ فمجموع الحدين مساوٍ للصفر.

3- بالطريقة السابقة نفسها نجد أن الحدين (3) و (4) في I_2 متساويان عندما $\beta_k - \beta_e \rightarrow 0$ ومجموعهما يساوي الصفر.

4- في I_3 نأخذ نسبة الحدين (1)، (3) ونأخذ نهاية هذه النسبة عندما $\beta_k - \beta_e \rightarrow 0$ فنجد أن:

$$\lim_{\beta_k - \beta_e \rightarrow 0} \left(\frac{\cos(\beta_k - \beta_e)}{2(\beta_k - \beta_e)^2} \right) = \lim_{\beta_k - \beta_e \rightarrow 0} \left(\frac{\cos(\beta_k - \beta_e)}{\sin(\beta_k - \beta_e)} \right) = 1$$

$$\frac{\cos(\beta_k - \beta_e)}{2(\beta_k - \beta_e)^2} = \frac{\cos(\beta_k - \beta_e)}{\beta_k - \beta_e}$$

وهكذا فإن مجموع الحدين (1) و (3) يساوي الصفر.

بالطريقة نفسها نجد أن مجموع الحدين (5) و (6) في I_3 مساوٍ للصفر.

5- في التكامل I_4 نجد أن مجموع الحدود (1) و (3) و (5) و (6) مساوٍ للصفر. وعليه فإن التكاملات السابقة (35) تأخذ القيم الآتية من أجل $k=e$:

$$I_1' = m^2 \left[-\left(\frac{1}{4} - \frac{\sin 2\beta_k}{8\beta_k}\right) + \frac{\cos 2\beta_k}{8\beta_k^2} \right]$$

$$I_2' = \beta_k^2 \left[-\left(\frac{1}{4} + \frac{\sin 2\beta_k}{8\beta_k}\right) - \frac{\cos 2\beta_k}{8\beta_k^2} \right]$$

$$I_3' = m\beta_k \left[\frac{\cos 2\beta_k}{4\beta_k} - \frac{\sin 2\beta_k}{8\beta_k^2} - \frac{\cos 2\beta_k}{8\beta_k} \right]$$

$$I_4' = m\beta_k \left[\frac{\cos 2\beta_k}{4\beta_k} - \frac{\sin 2\beta_k}{8\beta_k^2} - \frac{\cos 2\beta_k}{8\beta_k} \right]$$

نلاحظ أن:

$$I_3' = I_4'$$

وعليه فإن مجموع هذه التكاملات هو I_k'

$$I_k' = I_1' + I_2' + 2I_3'$$

$$+ \frac{1}{2}$$

$$\int_{-1/2}^{+1/2} L_k(\eta) \cdot \eta \cdot d\eta$$

$$- \frac{1}{2}$$

■ حساب التكامل:

$$\int_{-1/2}^{+1/2} L_k(\eta) \cdot \eta \cdot d\eta = \frac{\beta_k(2+m) + \beta_k(m-2)\cos\beta_k - (2m - \beta_k^2)\sin\beta_k}{2\beta_k^2}$$

اعتماداً على ما سبق يمكن إيجاد M_T :

$$M_T = 2\alpha_0 \cdot E \cdot h \cdot \frac{\chi}{\lambda} \left\{ \sum_{k=1}^{\infty} \frac{\beta_k (2+m) + \beta_k (m-2) \cos \beta_k - (2m - \beta_k^2) s}{2\beta_k^2 \cdot R_k} \varphi_k(t) \right\}$$

$$+ 4 \left(\frac{\alpha_1 - \alpha_0}{T_1} \right) \cdot E \cdot h \cdot \frac{\chi}{\lambda} \left\{ \frac{\chi}{\lambda} \sum_{k=1}^{\infty} \sum_{e=1}^{\infty} \frac{\varphi_k(t) \varphi_e(t)}{R_k \cdot R_e} I_{ke} + \frac{\chi}{h\lambda} \sum_{k=1}^{\infty} \frac{(\varphi_k(t))^2}{R_k^2} I_k' \right.$$

$$\left. + T_0 \left[\sum_{k=1}^{\infty} \frac{\beta_k (2+m) + \beta_k (m-2) \cos \beta_k - (2m - \beta_k^2) \sin \beta_k}{2\beta_k^2 R_k} \varphi_k(t) \right] \right\}$$

أو بالشكل الآتي:

$$M_T = 2Eh \cdot \frac{x}{\lambda} \left[\alpha_0 + 2 \left(\frac{\alpha_1 - \alpha_0}{T_1} \right) T_0 \right] \cdot \left\{ \sum_{k=1}^{\infty} \frac{\beta_k (2+m) + \beta_k (m-2) \cos \beta_k - (2m - \beta_k^2) \sin \beta_k}{2\beta_k^2 \cdot R_k} \cdot \varphi_k(t) \right\}$$

$$+ 4 \left(\frac{\alpha_1 - \alpha_0}{T_1} \right) \cdot E \cdot \frac{\chi^2}{\lambda^2} \left\{ \sum_{K=1}^{\infty} \sum_{e=1}^{\infty} \left(\frac{I_{Ke}}{R_k \cdot R_e} \phi_K(t) \cdot \phi_e(t) \right) \right.$$

$$\left. + \sum_{K=1}^{\infty} \left(\frac{I_k'}{R_k^2} \right) \varphi_k(t)^2 \right\}$$

(36)

مع الأخذ بالحسبان أن $k \neq e$ في السلسلة الثانية.

بتعريض (36) في (34) تصبح معادلة الانتقال $W(x,y,z)$ محددة تماماً من أجل التدفق الحراري المعطى والتي على أساسها يمكن حساب العزوم وقوى القص في أي نقطة من البلاطة باستخدام المعادلات (7)، (8).

4 - حالة بلاطة دائرية معرضة لتدفق حراري شدته $q(t)$ باعتبار $\alpha(t)$ ووجود تبادل حراري من سطحها السفلي مع الوسط الخارجي وذات استناد بسيط على كامل محيطها.

- لتكن لدينا بلاطة دائرية نصف قطرها R وارتفاعها h حيث $(h \leq \frac{2R}{9})$ وبهذا الشكل فإن التبادل الحراري من الأطراف مهمل / 4 ؛ وعليه فإن معادلة توزيع درجة الحرارة في عمق البلاطة (23) صالحة للاستخدام في البلاطات الدائرية هذه.

وضمن شروط التناظر المحوري ولتحديد الوضع الإجهادي والتشوهي للبلاطة يمكن كتابة المعادلة التفاضلية (4) بشكلها القطبي الآتي /6/

$$\frac{\partial^4 W}{\partial r^4} + \frac{2}{r} \frac{\partial^3 W}{\partial r^3} - \frac{1}{r^2} \frac{\partial^2 W}{\partial r^2} + \frac{1}{r^3} \frac{\partial W}{\partial r} = -\frac{1}{D(1-\nu)} \frac{\partial^2 M_T}{\partial r^2} \quad (37)$$

حيث: $W(r,t)$ الانتقال الشاقولي للبلاطة
فعندما تكون البلاطة ذات استناد بسيط على كامل محيطها فإن الشروط الحدية هي اعتبار مبدأ الإحداثيات في مركز البلاطة.

$$r = R \Rightarrow \left\{ \begin{array}{l} W(R, t) = 0 \\ M_r(R, t) = \frac{\partial^2 W}{\partial r^2} + \frac{\nu}{R} \frac{\partial W}{\partial r} + \frac{M_T(t)}{D(1-\nu)} = 0 \end{array} \right\} \quad (38)$$

بعد تحديد انتقال البلاطة $W(r,t)$ يمكن حساب العزوم القطرية M_r والحلقية M_θ من العلاقات الآتية:

$$\begin{aligned} M_r &= -D \left(\frac{\partial^2 W}{\partial r^2} + \frac{\nu}{r} \frac{\partial W}{\partial r} \right) - \frac{M_T}{1-\nu} \\ M_\theta &= -D \left(\frac{1}{r} \frac{\partial W}{\partial r} + \nu \frac{\partial^2 W}{\partial r^2} \right) - \frac{\nu}{1-\nu} M_T \end{aligned} \quad (39)$$

بفرض: $q_s = \frac{1}{1-\nu} \frac{\partial^2 M_T}{\partial r^2}$ فإن المعادلة التفاضلية (37) تكتب بالشكل الآتي / 6 /:

$$\frac{\partial}{\partial r} \left\{ r \frac{\partial}{\partial r} \left[\frac{1}{r} \frac{\partial}{\partial r} \left(r \frac{\partial W}{\partial r} \right) \right] \right\} = -\frac{q_s \cdot r}{D} \quad 0 \leq r \leq R \quad (40)$$

إن حل (40) يمكن الحصول عليه بإجراء التكامل بالتتالي حيث تأخذ الشكل الآتي:

$$W(r, t) = -\int \frac{1}{r} \left[r \int \left\{ \frac{1}{r} F_1(r) dr \right\} dr \right] dr + c_1 \frac{r^2}{4} (\ln r - 1) + c_2 \frac{r^2}{4} + c_3 \ln r + c_4$$

فعندما $r=0$ فإن $W(r, t)$ يجب أن تأخذ قيمة منتهية ولذلك فإن $C_1=C_2=0$ ومن ثم فإن:

$$W(r, t) = -\int \frac{1}{r} \left[r \int \left\{ \frac{1}{r} F_1(r) dr \right\} dr \right] dr + c_2 \frac{r^2}{4} + c_4 \quad (41)$$

$$F_1(r) = \int \frac{qS}{D} \cdot r \cdot dr \quad \text{حيث:}$$

يمكن أن نكتب (41) بالشكل الآتي بعد إجراء المكاملة:

$$W(r, t) = -F_4(r) + C_2 \frac{r^2}{4} + C_4$$

$$F_4(r) = \int \frac{1}{r} F_3(r) dr; F_3(r) = \int r F_2(r) dr$$

حيث:

$$F_2(r) = \int \frac{1}{r} F_1(r) dr$$

باستخدام الشروط الحدية (38) يمكن تحديد الثوابت C_2, C_4 والحصول على المعادلة النهائية للانتقال $W(r, t)$:

$$W(r, t) = F_4(R, t) - F_4(r, t) + \frac{R^2}{2(1+\nu)} \left[\frac{M_T}{D(1-\nu)} - F_4''(R, t) - \frac{\nu}{R} F_4'(R, t) \right] \cdot \left(1 - \frac{r^2}{R^2}\right) \quad (42)$$

M_T العزم الحراري وهو محدد بالعلاقة (36)

وبالعودة إلى (39) يمكن حساب M_θ, M_r .

مثال:

بلاطة بيتونية مربعة الشكل $a = b = 4m$ معرضة لتدفق حراري ثابت شدته

$$q_0 = 4 \cdot 10^3 \text{ kcal/cm}^2 \cdot \text{sec}$$

بفرض أن:

$$E = 3 \cdot 10^4 \text{ MPa}$$

$$\nu = \frac{1}{6}$$

$$\lambda = 2.8 \cdot 10^{-3} \text{ kcal/cm} \cdot \text{sec} \cdot \text{C}^0$$

$$\chi = 5.8 \cdot 10^{-3} \text{ cm}^3 / \text{sec}$$

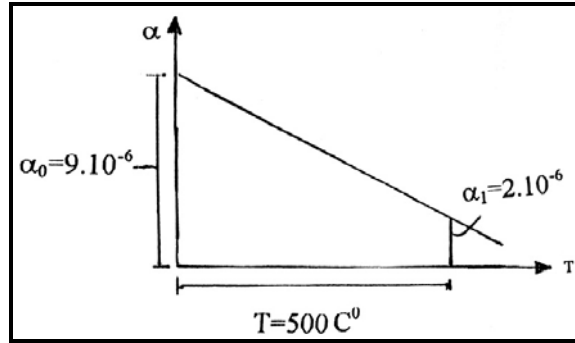
المطلوب تحديد السهم والعزم في منتصف البلاطة وذلك من أجل :

-1 $m = 0$ حالة بلاطة معزولة تماماً من سطحها السفلي .

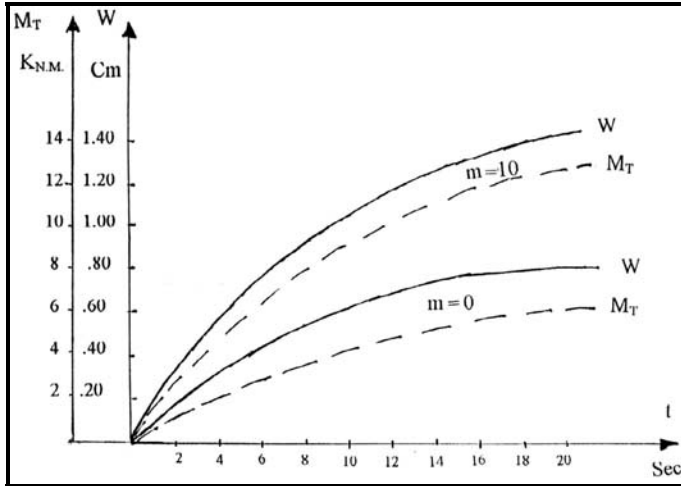
-2 $m = 10$ حالة تبادل حراري .

علماً أن تغير عامل التمدد الطولي $\alpha(T)$ معطى بالشكل (6) .

إن قيم السهم W وعزوم الانعطاف M لمنتصف البلاطة موضحة بالشكل (7) .



الشكل رقم 6.



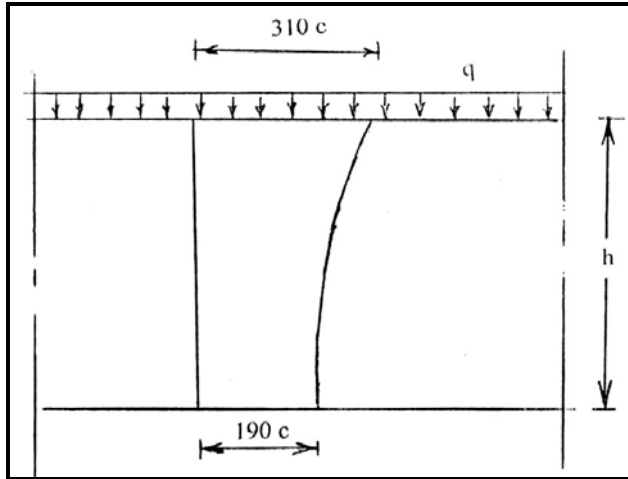
الشكل رقم 7.

شرح نتائج المثال الأساسية :

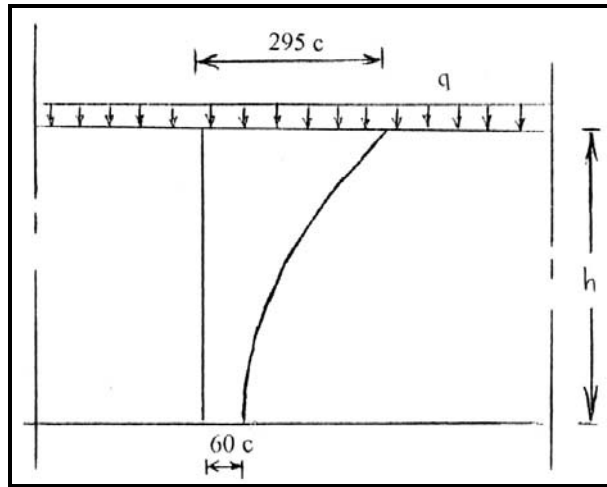
1- يتبين من مخطط عزم الإنعطاف M والانتقال W الشكل (7) أن العزم و الانتقال يزدادان بازدياد التبادل الحراري m و بالتالي فإن الانتقال و عزم الإنعطاف في البلاطات الرقيقة والمعزولة من سطحها السفلي هي أقل من البلاطات ذات التبادل الحراري من سطحها السفلي مع الوسط المحيط و سبب ذلك هو ما يوضحه الشكل (8) لبلاطة رقيقة تتعرض لتدفق حراري على سطحها العلوي و معزولة من الأسفل. ومن الشكل (8) نجد أن التدرج الحراري قليل جداً و هو قريب من التوزيع المنتظم و هذا لا يؤدي إلى ظهور عزوم كبيرة أما الشكل (9) فهو يوضح بلاطة رقيقة تتعرض لتدفق حراري على سطحها العلوي و لكنها تتبادل الحرارة من سطحها السفلي مع الوسط المحيط و نتيجة لذلك فإن تدرج توزيع درجة الحرارة يزداد و هذا الإزدياد ينعكس بدوره على زيادة في العزوم.

2- من الشكل (7) و مع إزدياد درجة الحرارة فإن عامل التمدد الطولي ينخفض مع مرور الزمن و هذا ينعكس على السهم W و عزم الإنعطاف M حيث بعد فترة زمنية كافية $t > 20 \text{ sec}$ نلاحظ أن العزم و السهم يبقيا ثابتين مع إزدياد درجة الحرارة.

ملاحظة: في هذه الدراسة تم إهمال الوزن الذاتي للبلاطة و تمت دراسة التأثيرات الناتجة عن التدفق الحراري.



الشكل رقم 8. توزيع درجة الحرارة بعد مضي 5 sec لبلاطة معزولة $m=0$
(تلاحظ تدرجاً ضعيفاً في منحنى توزيع درجة الحرارة)



الشكل رقم 9. توزيع درجة الحرارة بعد مضي 5 sec لبلاطة غير معزولة $m=10$
(تلاحظ تدرجاً كبيراً في منحنى توزيع درجة الحرارة)

الخلاصة

تم في الدراسة السابقة الإشارة إلى النقاط الهامة الآتية:

- 1- إيجاد معادلة التوزيع الحراري (توزيع درجة الحرارة) مع العمق للبلاطة و باعتبار شروط التبادل الحراري مع الوسط المحيط، وتعد هذه المعادلة عامة من أجل البلاطات الرقيقة. كما تبين أنه عندما يكون التبادل الحراري مع الوسط المحيط معدوماً (البلاطة معزولة) فإن هذه العلاقة تتسجم مع العلاقات الواردة في /2/ .
- 2- اعتبار تغير عامل التمدد الطولي لمادة البلاطة بوصفه تابعاً لدرجة الحرارة، و هذا ما يؤدي إلى انعكاسه على الوضعية الإجهادية و التشوهية للبلاطة.
- 3- إيجاد معادلات السهم للبلاطات الدائرية و المستطيلة باعتبار $\alpha(T)$ و قد تبين من خلال الدراسة أنه إذا كان $\alpha(T) = Const.$ فإن علاقات السهم هذه تتسجم مع ما هو وارد في /2/ .
- 4- بإيجاد معادلات السهم يمكن إيجاد معادلات عزوم الانعطاف و قوى القص و عزوم الفتل .
- 5- تفيد الدراسة السابقة لمعادلة التوزيع الحراري للبلاطة في إيجاد مقدار ارتفاع درجة الحرارة للبلاطة عند تعرضها لتدفق حراري الأمر الذي يستفاد منه في تحديد الفترة الزمنية التي تتحملها المنشآت الرقيقة عند تعرضها لهذا التدفق مع اعتبار شروط التدفق الحراري.
- 6- هناك بعض النتائج الأساسية و قد وردت في المثال السابق.
- 7- يمكن لهذه الورقة أن تشكل اسهاماً بحثياً للمهتمين في هذا المجال و الراغبين في تطوير هذا الإتجاه .

المصطلحات العلمية المستخدمة:

BENDING MOMENT	عزم الانعطاف
Boundary conditions	شروط حدية
Circular slab	بلاطة دائرية
Coefficient of linear expansion	عامل التمدد الطولي
Coefficient of thermal conductivity	عامل الناقلية الحرارية
Deflection	سهم (W)
Deformation	تشوه
Differential equation	معادلة تفاضلية
Function	تابع
Flexural rigidity	الصلابة الأسطوانية
Heat capacity	السعة الحرارية
Heat flux	التدفق الحراري
Hinged support	مسند متمفصل
Modulus of elasticity	عامل المرونة (E)
Poisson's ratio	عامل بواسون (ν)
Shear force	قوة القص
Slab	بلاطة
Uniform load	حمولة موزعة بانتظام (q)

المراجع

1. Saboni, Raja, Mathematics /5/, Damascus university, 1982.
2. Boley, B & Weiner. J. Theory of thermal stress, New York, London, Johon Willy and Sons 1960
3. Timoshenko, S.P. Theory of elasticity, "nayka domka" Kiev , 1972.
4. Kavlinka, A. Thermal elasticity for slabs,"Eidition KGY" Kiev, 1971.
5. Kavlinka, A. Thermal elasticity,"Vishaya shcola" Kiev, 1975.
6. Jokove, A. Changes of coefficient of elasticity and Coefficient of linear expansion by changes of temperature for some materials"Mir" Moscow, 1959.

· تاريخ ورود البحث إلى مجلة جامعة دمشق: 2000/5/2.

**Study of thin slabs under heat flux effects
considering coefficient of linear expansion to be
altered with temperature**

Shahin Ghalayini

D
e
p
a
r
t
m
e
n
t

o
f

s
t
r
u
c
t
u
r
a
l

e
n
g
i
n
e
e

r
i
n
g
F
a
c
u
l
t
y

o
f

c
i
v
i
l

e
n
g
i
n
e
e
r
i
n
g

Damascus University

Abstract

This research aims to introduce a new effective method to analyze and solve thin slabs that are exposed to heat flux in full over one surface, whereas the other surface is exposed to heat exchange with the surrounding.

A new equation was introduced by the author in order to find heat distribution against the depth of the slab. The new equation is based on Lablace equations with consideration to heat exchange with the surrounds. It was found out that when heat exchange reaches zero (insulated), then the new equation is conformed to other equations in different references.

Consequently, the coefficient of linear expansion of slab material (α) was put to function at temperature $\alpha(T)$. Therefore, the deflections of circular and rectangular simple support slabs were found. Hence, and according to this, bending moment, shear force and torsional moments could be found for these slabs.